

2003 춘계 학술 발표회 논문집
한국원자력학회

사용후핵연료 중 C-14 정량을 위한 액체섬광계수기
최적 조건 설정

A Study on the Optimum Conditions of Liquid Scintillation Counter for the Measurement of C-14 in Spent Nuclear Fuel

이성경, 송병철, 김정석
한국원자력연구소
대전광역시 유성구 덕진동 150

요약

사용후핵연료(Spent Nuclear Fuel)중의 C-14 정량을 위한 액체섬광계수기의 최적 계측 조건 설정을 연구하였다. 모의사용후핵연료(SIMFUEL)를 준비하여 시료용해중 휘발된 C-14(CO_2)을 1.5 M NaOH 용액으로 포집하고 일정량을 취하여 섬광체(Hionic FluorTM)와 섞은 후 액체섬광계수기로 측정하였다. C-14의 방사능(disintegrations per minute, dpm)은 Standard Quenching Curve를 이용하여 구하였다. Standard Quenching Curve는 Packard 사의 Quenching Set과 Hionic-Fluor Cocktail로 만든 Quenching Set을 이용하여 작성하였다. 후자의 방법으로 작성된 Quenching Curve를 이용하여 C-14의 dpm을 측정한 결과, $1390.26 \pm 0.6\%$, 전자의 방법으로 작성된 Quenching Curve를 이용하여 측정한 결과, $1164.39 \pm 0.53\%$ 로 나타났으며, 후자의 방법에 의한 측정값이 예측값(1428.9 dpm)과의 편차가 적었다. C-14 포집용액 일정량을 Hionic FluorTM 섬광체와 혼합하고 3시간 간격으로 72시간 동안 동일시료에 대해 방사능을 측정해 본 결과, 침전 및 화학발광(Chemiluminescence)에 의한 측정값의 변화는 나타나지 않았다.

Abstract

This paper describes the optimum condition of liquid scintillation counter for

measurement of C-14 in spent nuclear fuel. The volatile C-14(CO_2) during the dissolution of a simulated spent fuel(SIMFUEL) was trapped by 1.5M NaOH in collection apparatus. Aliquot of trapping solution was added to Hionic-Fluor cocktail and then measured by liquid scintillation counter. In order to measure activity of C-14 in disintegrations per minute(dpm), we used two standard quenching curves, which were plotted with the set of quenched standards from Packard Co. and the set of quenched standards made with Hionic-Fluor cocktail, respectively. The activity(dpm) measured of C-14 from the standard quenching curve plotted by the second method was $1390.26 \pm 0.6\%$ close to the calculated value(1428.9) and that by the first method was $1164.39 \pm 0.53\%$. The interferences by precipitation and chemiluminescence were not shown when a few mL of 1.5M NaOH was added to Hionic-Fluor cocktail, and counted at intervals of 3 hours for 72 hours.

1. 서론

사용후핵연료 중 C-14 정량방법으로는 액체섬광계수법(Liquid Scintillation Counting, LSC), 기체크로마토그래피 및 적외선 분광분석법 등이 알려졌으며, 이 중 순수 β 방출 핵종인 C-14(Max.Energy: 156keV 반감기: 5730년)을 액체섬광계수기법으로 정량하는 방법이 가장 많이 이용되고 있다[1-7]. 사용후핵연료 중에 함유된 C-14의 양은 매우 적을 뿐아니라 분석을 위한 고방사능의 사용후핵연료의 많은 양을 취급하기가 불가능하였다. 따라서 본 연구에서는 소량의 사용후핵연료시료를 용해하는 과정에 휘발되는 C-14(CO_2)를 정량적으로 회수하고 LSC분석이 가능하도록 최적의 계측조건을 설정하고자 하였다. 본 연구팀은 앞서의 연구[8]로부터 1.5M NaOH용액이 사용후핵연료로부터 C-14 회수를 위한 최적의 흡착용액임을 확인한 바 있다. 그러나 C-14을 함유한 염기성의 NaOH용액을 취하여 LSC로 분석하는 과정에서 일반적으로 많이 이용되고 있는 섬광체를 사용할 경우 침전이 생성되므로 다량의 시료를 취할 수 없었다. 따라서 본 연구에서는 염기성 포집용액과 혼합이 가능한 섬광체(Hionic-FluorTM)을 선택하여 C-14를 포집한 1.5M NaOH 용액 일정량과 혼합한 후 LSC분석을 하였다. 또한 이 과정에서 발생하는 침전 및 화학발광에 의한 영향을 검토하고자 하였다. 포집용액 1.5M-NaOH로 포집된 C-14의 방사능 (dpm)은 QIP(Quench-Indicating-Parameters)를 나타내는 tSIE값을 이용한 Quenching Curve을 작성함으로써 구할 수 있다. 이 방법은 약 7~10개로 이루어진 Quenching Set으로 일정한 시간동안 액체섬광계수기로 측정하여 계측효율을 구하고, 각 표준물의 tSIE와

의 상관관계로부터 C-14의 방사능을 구하는 방법이다. 본 연구에서는 Standard Quenching Curve를 Packard Quenching Set와 Hionic-Fluor Cocktail로 만든 Quenching Set를 이용하여 작성해 보았으며 두 Quenching Curve를 이용하여 C-14의 방사능을 구하고 그 결과를 비교해 보았다.

2. 실험

2.1. 시약 및 장비

2.1.1. 액체섬광계수기(Liquid Scintillation Counter)

: PACKARD 2500TR A/B (Alpha/Beta Discrimination)

2.1.2. 섬광체(scintillator) : HIONIC FLUORTM(Packard.co.,)

이 섬광체는 염기성 시료용액에 사용할 수 있으며 섬광체의 화학 반응으로 생성된 빛(lights)을 단시간에 붕괴시켜 영향을 줄 일 수 있다.

2.1.3. 1.5M NaOH

2.1.4. C-14 표준용액 : 원액 Amersham CFY64, 92-08-01 476.3 kBq/g(in Na₂CO₃) 5mg/mL + Formaldehyde 1mg/mL + Water)

2.2. 실험

2.2.1. C-14 표준용액 준비

1) 모액 준비 : 100 mL 용적의 용량 플라스크에 Na₂CO₃ 50mL(5mg/mL)와 Formaldehyde 10mL을 넣고 앰플에 담긴 C-14 표준용액 전량(5g)을 조심해서 가한 다음 증류수로 100mL 표선을 맞춘다.

2) 희석액 준비 : 모액 일정량을 취하여 100배로 희석한다. 이 때 얻어진 방사능 값은 238.15 Bq/mL 이었다.

침전관련 시료준비 및 측정

- (1) Glass 20mL vial 9개에 섬광체(Hionic-FluorTM) 15mL씩을 각각 넣는다.
- (2) 섬광체가 들어있는 15mL의 vial에 1.5M NaOH-용액 0.5mL~4.5mL을 취해서 담는다.
- (3) NaOH와 섬광체가 섞인 9개의 vial에 'C-14 표준용액' 과정을 통해 희석된 C-14 방사능 표준용액을 마이크로피펫을 이용하여 0.1mL씩 첨가한다.
- (4) 용액들이 섞이도록 충분히 혼든 후 빛이 들어오지 않는 장소에 방치한다.

(5) 시료 9개를 Rack에 일렬로 배열하고 액체섬광계수기로 측정한다.

표 1. 각 시료 제작 특성

| NO. | Name | Cocktail | Vial | 1.5M NaOH 첨가량(mL) |
|-----|------|----------|-------|-------------------|
| 1 | 0.5 | H 15mL | Glass | 0.5 |
| 2 | 1.0 | H 15mL | Glass | 1.0 |
| 3 | 1.5 | H 15mL | Glass | 1.5 |
| 4 | 2.0 | H 15mL | Glass | 2.0 |
| 5 | 2.5 | H 15mL | Glass | 2.5 |
| 6 | 3.0 | H 15mL | Glass | 3.0 |
| 7 | 3.5 | H 15mL | Glass | 3.5 |
| 8 | 4.0 | H 15mL | Glass | 4.0 |
| 9 | 4.5 | H 15mL | Glass | 4.5 |

Chemiluminescence 관련 시료준비 및 측정

- (1) PE재질의 Vial을 6개(BKG', 2.5', 3.0', 3.5', 4.0')를 준비한다.
- (2) 각각의 Vial에 Hionic-Fluor™ Scintillator을 15mL씩 넣고 제작된 표준 C-14을 BKG'을 제외한 시료 4개에 동일하게 0.1mL을 넣는다.
- (3) 시료들이 골고루 섞일 수 있도록 철저하게 흔든다.
- (4) 이 시료들을 Rack에 차례로 담고 액체섬광계수기로 측정하여 방사능 값이 일정 오차 범위 내에 포함되는지 확인한다.
- (5) 측정 후 방사핵종 C-14이 들어있는 1.5M NaOH용액 2.5mL를 취해서 2.5'Vial에 넣고 흔든 후 바로 측정한다. 시료들의 측정 대기시간에 의한 오차를 줄이기 위하여 측정이 끝나기 2분전에 다음시료인 3.0mL을 3.0'Vial에 넣고 흔든 후 측정중인 시료 다음 위치 Rack에 넣는다. 이런 방법으로 4.0'시료까지 측정을 한다.
- (6) 각 시료마다 30분씩 계속 회전 측정을 하고 그 결과를 기록한다.

2.2.2. Quench curve 형성을 위한 시료 준비 및 측정

Commercial Quenching Curve

Packard Quench Set : Unquenched Std.-argon purged Carbon-14 Toluene 20mL.(톨루엔 1L당 PPO 4g 과 Dimethyl-POPOP 0.25g 이 포함. Quench Agent : Nitromethane)

Hionic-Fluor Cocktail을 이용한 Quenching 용액 준비

- (1) PE재질의 Vial을 8개 준비하고 뚜껑에 라벨을 기입한다.(0~7 까지)
- (2) 각각의 Vial에 15mL씩 Hionic-Fluor™ Scitillator를 넣고 여기에 표준C-14일차회석용액 0.1mL 씩을 동일하게 넣고 잘 섞이도록 흔든다.
- (3) 액체섬광계수기(LSC)를 이용해서 방사능 값을 측정한다.
- (4) 8개의 시료에 Quenchor로 니트로메탄(CH_3NO_2)을 '0'을 제외한 7개 시료에 일정량씩 첨가한다.(0.01mL, 0.02mL, 0.03mL, 0.05mL, 0.08mL, 0.1mL, 0.2mL)
- (5) 잘 섞은 후 액체섬광계수기 장치의 Rack에 차례로 넣고 Quench curve을 작성하기 위한 측정조건을 입력하고 계측한다.

3. 결과 및 고찰

3.1. 염(Salts) 침전

염기성(1.5M NaOH)용액과 Hionic-Fluor™ Scitillator을 섞었을 때 침전이 일어나지 않아야 한다. 침전은 액체섬광계수기로 측정할 때 계측효율이나 계수율에 영향을 주므로 오차의 원인이 된다. 앞서의 기초실험^{*}에서는 섬광체로 Ultima-Gold A/B를 사용하여 염기성용액과 혼합했었는데, 이때 시료인 1.5M NaOH용액을 0.2mL이상 취했을 때 침전이 발생하였으므로 C-14정량에는 0.1mL의 시료만을 취해서 측정할 수밖에 없었다. 이러한 사실은 시료 0.1mL에는 적어도 액체섬광계수기로 측정 가능한 방사능을 포함하고 있어야 하므로 측정대상용액의 방사능이 높아야 할 뿐만 아니라, 시료 처리할 때에도 문제가 된다는 것을 의미한다. 다시 설명하면, 섬광체와 혼합해야하는 1.5M NaOH 용액의 채취량이 많을수록 측정오차나 방사성 폐기물을 줄일 수 있을 뿐만 아니라 시료채취 할 때 발생하는 부피오차도 줄일 수 있다. 표 2는 방사핵종 C-14이 들어있는 1.5M NaOH용액을 새로 선택한 섬광체 Hionic-Fluor™ 15mL 에 일정량 증가시키면서 20mL Glass vial에 혼합시킨 후 잘 섞이도록 흔든 다음 특정한 시간별로 관찰한 결과이다. 표 3은 액체섬광계수기로 측정했을 때 나타난 결과이다. 1.5M NaOH용액이 증가할수록 CPM은 많아졌고, tSIE는 낮아졌다. 첨가량이 3.0mL인 시료는 섬광체와 혼합시킨 후 섞여주었을 때 액체내부에 여러 기포가 발생하였지만 하루를 방치한 후에는 기포들이 사라졌다. 기포가 발생한 5번 시료와는 달리 3.5~4.0mL 첨가한 시료들은 기포는 생기지 않았지만, 전체적으

로 탁한 느낌의 푸른빛을 띠우고 있었다. 섬광체 Hionic-Fluor™15mL용액 자체적인 색깔도 푸른빛이 감도는 것이지만 Quench에 영향을 미칠 정도는 아니다. 염기성용액을 4.5mL첨가시킨 시료는 처음 혼합액을 만들고 섞어주었을 당시에는 탁한 느낌의 푸른빛을 띠다가 시간이 지나면서 두 층으로 분리되었다.

표 2. 시료 1.5M NaOH양의 증가에 따른 Hionic-Fluor™혼합액의 변화

| NO. | 첨가한 1.5M NaOH | 0시간 | 7시간 후 | 24시간 후 |
|-----|---------------|-----------------|-----------------|-----------------|
| 1 | 0.5mL | 변화 없음 | 변화 없음 | 변화 없음 |
| 2 | 1.0mL | 변화 없음 | 변화 없음 | 변화 없음 |
| 3 | 1.5mL | 변화 없음 | 변화 없음 | 변화 없음 |
| 4 | 2.0mL | 변화 없음 | 변화 없음 | 변화 없음 |
| 5 | 2.5mL | 변화 없음 | 변화 없음 | 변화 없음 |
| 6 | 3.0mL | 기포발생 | 작은 기포 잔재 | 기포가 사라짐 |
| 7 | 3.5mL | 엷은 탁한 푸른색을 띠 | 엷은 탁한 푸른색을 띠 | 엷은 탁한 푸른색을 띠 |
| 8 | 4.0mL | 엷은 탁한 푸른색을 띠 | 엷은 탁한 푸른색을 띠 | 엷은 탁한 푸른색을 띠 |
| 9 | 4.5mL | 짙은 탁한 푸른색을 띠 | 층 분리 | 층 분리 |

표 3. 1.5M NaOH 증가에 따른 tSIE와 CPM

| NA. | (3회 연속측정: 20분씩) | | 평균 | | 섬광체 Scintillator | 이차회석C-14 표준용액 |
|-----|-----------------|--------|---------|--------|------------------------|------------------|
| | CPM | tSIE | CPM | tSIE | | |
| 0.5 | 1271.57 | 410.24 | 1264.11 | 410.21 | Hionic-Flu or™ 15mL | 0.1mL |
| | 1263.56 | 409.54 | | | | |
| | 1257.19 | 410.85 | | | | |
| 1.0 | 1363.73 | 380.79 | 1359.14 | 381.51 | Hionic-Flu or™ 15mL | 0.1mL |
| | 1362.65 | 379.94 | | | | |
| | 1351.04 | 383.81 | | | | |
| 1.5 | 1358.97 | 363.06 | 1362.97 | 364.17 | Hionic-Flu or™ 15mL | 0.1mL |
| | 1364.92 | 364.15 | | | | |
| | 1365.01 | 365.30 | | | | |
| 2.0 | 1372.18 | 348.13 | 1369.24 | 348.85 | Hionic-Flu or™ 15mL | 0.1mL |
| | 1367.56 | 348.31 | | | | |
| | 1367.99 | 350.11 | | | | |
| 3.0 | 1380.63 | 329.61 | 1371.34 | 330.96 | Hionic-Flu or™ 15mL | 0.1mL |
| | 1373.51 | 331.21 | | | | |
| | 1359.87 | 332.06 | | | | |
| 4.0 | 1369.75 | 325.39 | 1379.93 | 326.10 | Hionic-Flu or™ 15mL | 0.1mL |
| | 1390.56 | 325.38 | | | | |
| | 1379.48 | 327.52 | | | | |
| 4.5 | 1337.09 | 304.04 | 1341.06 | 301.37 | Hionic-Flu or™ 15mL | 0.1mL |
| | 1346.17 | 300.10 | | | | |
| | 1339.93 | 301.46 | | | | |

3.2. Chemiluminescence

3.2.1. Chemiluminescence 영향

섬광체에 따라서는 염기성용액(NaOH, KOH, Solvable.,)을 혼합했을 때 화학발광을 발생시키는 경우가 있다. 이러한 현상은 주로 분석하고자하는 방사핵종이 포함된 시료가 염기성을 띠는 용액으로, 일정량 취해서 섬광체와 혼합했을 때 일어나는 화학반응에 의해 발생하는 빛(lights)으로 인하여 측정할 때 데이터에 Counts로 인식되어 Positive Quencher로 작용한다. Chemiluminescence 보정을 위해서 사용되는 방법에는 (1)화학적인 방법, (2)온도 조절, (3)측정법위선택, (4)시간지연측정 등이 있으며 이 중 권장되는 방법은 (3), (4) 방법이다. 이 두 가지 방법을 고려해서 제작이 완료된 시료들을 액체섬광계수

기를 이용하여 3시간 간격으로 75시간 측정시켰다. 1.5M NaOH용액을 첨가하기 전에 먼저 일차 희석된 C-14의 일정량을 섬광체 Hionic-FluorTM15mL이 든 Vial에 넣고 측정한 결과를 표 4에 나타내었다.

표 4. Hionic-FluorTM 섬광체 15mL 속에 포함된 C-14 CPM

| Sample | CPM(A) | 2S% | CPM(B) | 2S% | tSIE |
|--------|---------|------|---------|------|--------|
| 2.5' | 1305.33 | 1.01 | 1205.03 | 1.05 | 502.25 |
| 3.0' | 1351.53 | 0.99 | 1251.80 | 1.03 | 504.51 |
| 3.5' | 1301.40 | 1.01 | 1210.03 | 1.05 | 505.20 |
| 4.0' | 1372.63 | 0.99 | 1265.40 | 1.03 | 507.37 |
| STD' | 1405.20 | .097 | 1305.30 | 1.01 | 503.87 |

* A:0~156.0 keV, B: 4.0~156.0 keV

핵종 C-14측정 평균값은 $1347.21 \pm 1.3\%$ 로 나타났다. 여기에 위 실험을 통해 침전이 생기지 않은 0.5~4.0mL의 시료 양 중 2.5mL~4.0mL의 1.5M NaOH를 섬광체에 혼합시킨 후 Packard 사에서 권하는 C-14측정범위인 4.0~156keV을 측정범위로 잡고 3시간 간격으로 75시간동안 C-14의 CPM과 tSIE 값을 살펴보았다. tSIE는 QIP를 나타낸다. 그림 1에서 나타난 바와 같이 동일한 시료를 75시간동안 반복 측정시켰을 때 C-14의 CPM과 tSIE 의 변화가 거의 없는 걸로 나타났다. Chemiluminescence 의 에너지가 0~10 keV 사이에서 주로 발생하며, 짧게는 수분에서 길게는 하루이상 지나야 붕괴되는 성질을 감안한다면 75시간의 측정결과를 나타낸 위 그림1을 통해 이 시료에서는 Chemiluminescence 영향을 무시해도 될 것으로 판단된다.

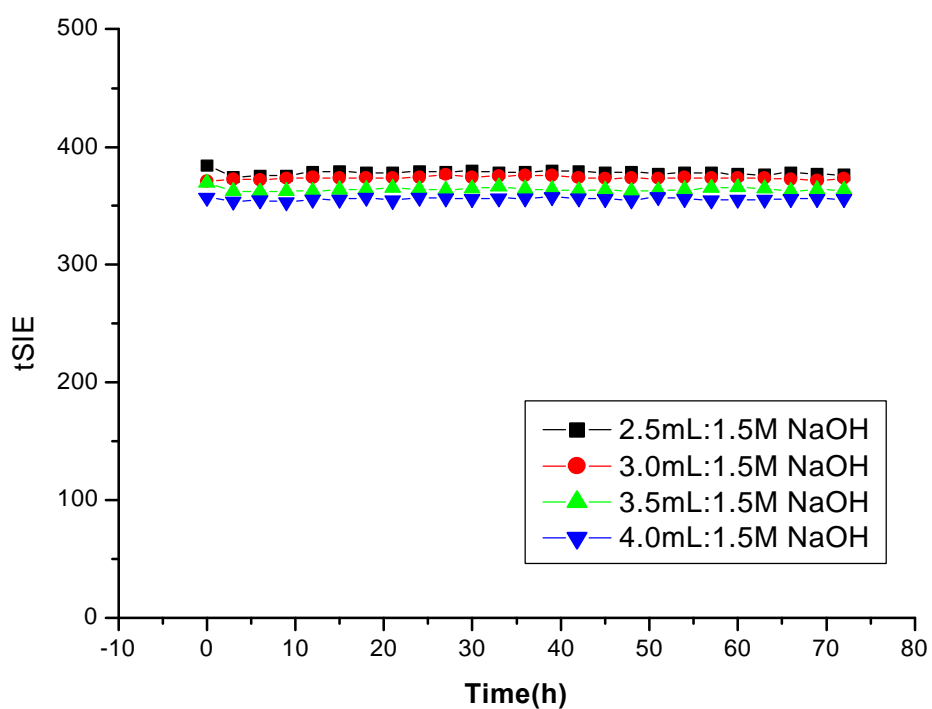
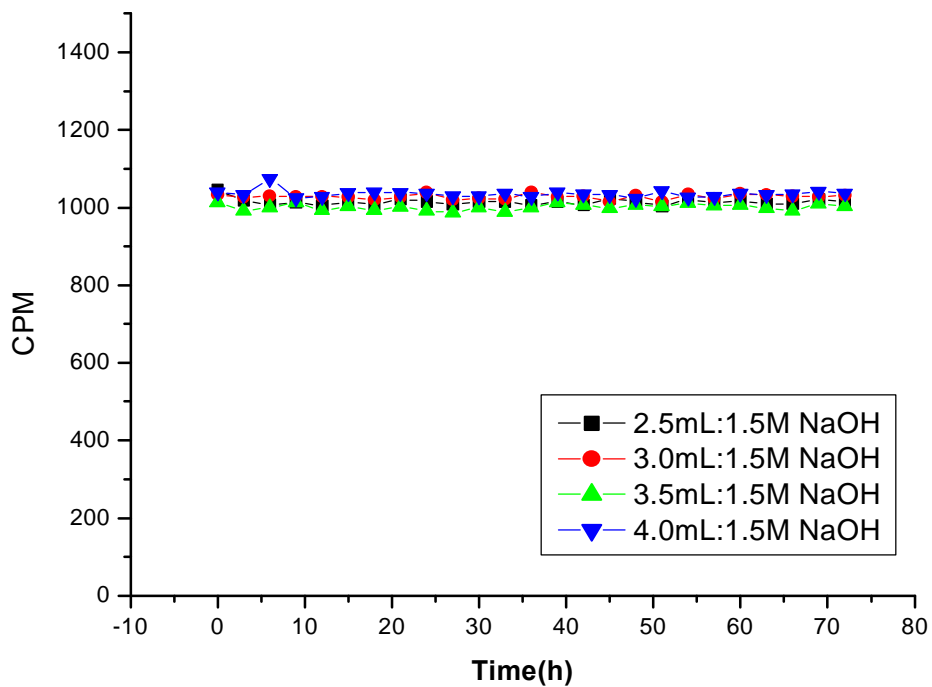


그림 1. 시간에 따른 C-14의 CPM과 tSIE의 변화.

3.3. Standard Quench curve

위에서 제작된 시료 5개를 Commercial Quenching Set 와 Hionic-Fluor Cocktail로 만든 Quenching Set을 이용하여 각각의 Quenching Curve를 작성하고 5개 시료에 대한 DPM을 구했다. 이미 알려져 있는 대로 이 방법은 QIP를 나타내는 tSIE을 Standard Quench Set을 이용해 구해진 Efficiency와의 상관관계에 의해서 측정시료의 DPM을 추정하는 방법이다. 그림 2와 그림 3은 두 가지 Quenching Set에 대한 Quenching Curve를 나타내고, 그들에 대한 Data는 각각 표 5, 표 6에서 볼 수 있다. 두 개의 Quenching Curve와 Data에서 알 수 있다시피 Hionic-Fluor Cocktail로 만든 Quenching Set 7개의 시료를 가지고 측정한 Quenching Curve Data는 Packard 사의 Quenching Curve Set 10 개의 시료의 Quenching Curve Data보다 전체적으로 tSIE값이나 Efficiency가 낮게 나타났음을 알 수 있다. 한 예로 비슷한 tSIE값을 나타내는 Packard Quenching Curve의 388.84에서의 효율이 92.63%을 나타내는 반면, Hionic-Fluor Cocktail로 만든 Quenching Curve에서는 388.25에서 77.84%의 효율을 나타내고 있음으로, 이러한 사실을 알 수 있다. 나머지 값에서도 비슷한 경향을 보이고 있다. 이 두 종류의 Quenching Curve를 이용하여 핵종 C-14이 든 시료의 DPM을 구해보았다. 전체적으로 효율이 높게 나타난 Packard Quenching Curve를 이용했을 때의 C-14의 DPM은 $1164.39 \pm 0.53\%$ 로 예측값(1428.9dpm)과 18.5%의 편차를 보인 반면, Hionic-Fluor Cocktail로 만든 Quenching Curve에서는 DPM이 $1390.26 \pm 0.6\%$ 로 예측값(1428.9dpm)과 2.7% 편차를 보였다. 시료들에 대한 각각의 결과는 표 7과 표 8에서 알 수 있다.

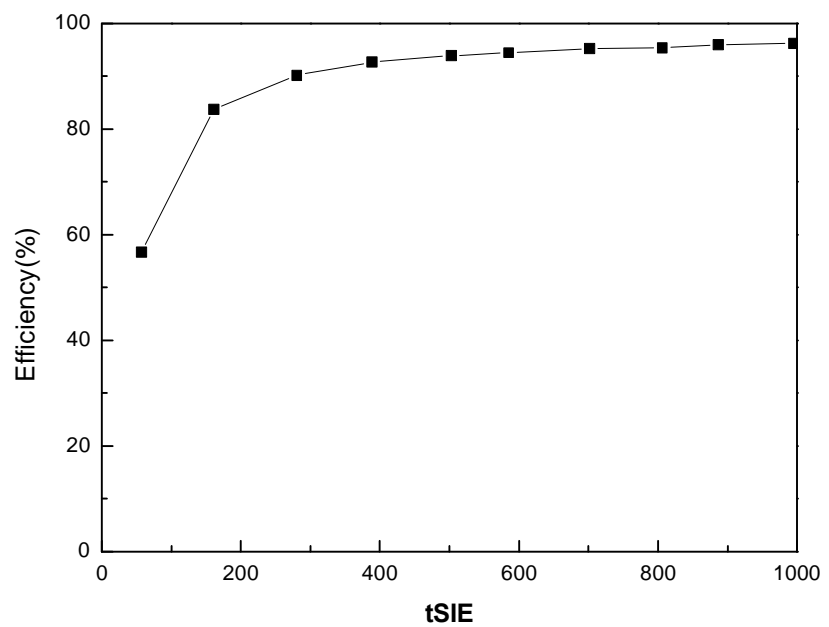


그림 2. Packard Quenching Set로 작성한 Curve.

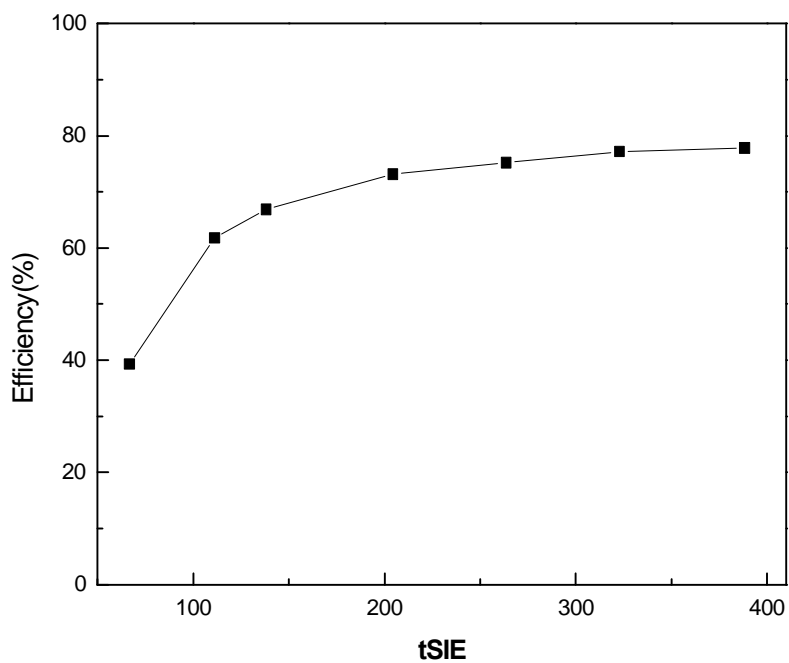


그림 3. Hionic-Cocktail로 작성한 Quenching Curve.

표 5. Packard Quenching Set의 의한
Curve Data

| N | tSIE | Efficiency(%) |
|----|--------|---------------|
| 1 | 995.24 | 96.19 |
| 2 | 886.53 | 95.96 |
| 3 | 806.34 | 95.39 |
| 4 | 701.49 | 95.23 |
| 5 | 585.05 | 94.44 |
| 6 | 502.54 | 93.90 |
| 7 | 388.84 | 92.63 |
| 8 | 280.55 | 90.19 |
| 9 | 161.38 | 83.68 |
| 10 | 56.79 | 56.68 |

표 6. Hionic-Cocktail의 의한 Quenching
Curve Data

| N | tSIE | Efficiency(%) |
|---|--------|---------------|
| 1 | 388.25 | 77.84 |
| 2 | 322.73 | 77.20 |
| 3 | 263.55 | 75.17 |
| 4 | 204.37 | 73.14 |
| 5 | 138.14 | 66.86 |
| 6 | 111.12 | 61.80 |
| 7 | 66.82 | 39.33 |

표 7. Packard Quenching Curve를 사용해서 구한 C-14의 DPM

| N.A | tSIE | 측정 값(CPM) | M | 계산 값(DPM) |
|---------|--------|-----------|----------------------|-----------|
| 2.5' | 370.27 | 1146.66 | $1154.26 \pm 0.35\%$ | 1428.9 |
| | 369.50 | 1163.82 | | |
| | 370.13 | 1152.30 | | |
| 3.0' | 362.48 | 1155.41 | $1163.13 \pm 0.28\%$ | 1428.9 |
| | 363.91 | 1165.21 | | |
| | 363.85 | 1168.77 | | |
| 3.5' | 358.05 | 1157.50 | $1152.26 \pm 0.22\%$ | 1428.9 |
| | 358.58 | 1146.45 | | |
| | 359.65 | 1152.83 | | |
| 4.0' | 347.60 | 1183.02 | $1187.90 \pm 0.19\%$ | 1428.9 |
| | 349.94 | 1188.15 | | |
| | 348.64 | 1192.54 | | |
| Average | | | $1164.39 \pm 0.53\%$ | 1428.9 |

표 8. Hionic-Cocktail Quenching Curve를 사용했을 때 C-14의 DPM

| N.A | tSIE | 측정 값(CPM) | 계산 값(DPM) |
|---------|--------|---------------------|-----------|
| 2.5' | 366.51 | 1373.46 | 1428.9 |
| 3.0' | 359.83 | 1407.00 | 1428.9 |
| 3.5' | 353.87 | 1373.43 | 1428.9 |
| 4.0' | 346.51 | 1407.15 | 1428.9 |
| Average | | $1390.26 \pm 0.6\%$ | 1428.9 |

4. 결 론

이상의 실험결과들로부터 우리는 다음과 같은 결론을 얻을 수 있었다.

- 1) C-14 포집용액(1.5M NaOH)을 최대 4.0mL까지 츄하여 섬광체 Hionic-FluorTM와 혼합할 경우 침전이나 화학발광(Chemiluminescence)에 의한 간섭없이 측정이 가능하였다.
- 2) C-14 포집용액 중의 방사능계측은 Hionic-FluorTM 섬광체로 만든 Quenching Set로 작성한 Quenching Curve를 이용하는 것이 효과적이었다.
- 3) 본 연구를 통해 얻어진 LSC 계측조건을 활용할 경우 소량의 사용후핵연료시료로부터 C-14의 방사능을 효과적으로 측정하고 정량 할 수 있을 것으로 기대된다.

참고문헌

1. *Liquid scintillation analysis 'Science and Technology'*. Packard Instrument Co., 1987.
2. *Handbook of Radioactivity Analysis*. Academic Press, 1998.
3. *Liquid scintillation Counting and Organic Scintillator*. Lewis Publishers, 1991.
4. *Micro Volume Counting with External Standardization*. Packard BioScience Company, 1986.
5. *Instrumental methods for detecting some common problems in liquid scintillation counting*. Lab, 1981.
6. *Elimination of chemiluminescence in liquid scintillation spectrometer*. Nucl. Instum. Methods Phys. Res. 1984.
7. *Analytical subtraction of chemiluminescence counts for dual-labeled samples in liquid scintillation measurement*. Int. J. Appl. Radiat. Isot. 1985.
8. *Determination of Carbon-14 in Simulated Spent Fuel*. 한국분석과학회, 2002.